

ГЛАВА 6

Теория систем многих частиц и ее применение к электронному газу

Важный недостаток приближения Хартри — Фока заключается в том, что при вычислении полной энергии электронного газа практически нельзя учесть корреляцию в движении электронов с антипараллельными спинами. Физически ясно, что кулоновское отталкивание стремится разделить электроны с антипараллельными спинами. Фактическое пренебрежение корреляцией не так существенно для электронов с параллельными спинами. Мы видели, когда шла речь о так называемой фермидырке, что принцип Паули автоматически вводит сильную корреляцию в этом последнем случае.

В гл. 5 мы определили *энергию корреляции* как разность между точным значением энергии и значением, вычисленным в приближении Хартри — Фока. В настоящей главе мы рассмотрим методы приближенного вычисления энергии корреляции для вырожденного электронного газа, в частности при высокой плотности ($r_s < 1$). При достаточно низкой плотности задачаносит несколько иной характер: считается, что в этом случае электронный газ конденсируется в кристалл с объемноцентрированной кубической структурой. Мы рассмотрим предельный случай низкой плотности (предел Вигнера). Принято считать [1], что при $r_s \geq 5$ электронный кристалл находится в устойчивом состоянии, тогда как при меньших значениях r_s устойчивым состоянием будет газовая фаза.

В последние годы было разработано много мощных методов для вычисления свойств электронного газа. Большинство этих методов ведет к эквивалентным результатам. Простейшими из этих новых методов являются приближения самосогласованного поля, предложенные, с одной стороны, Эренрейхом и Коэном [2] и, с другой — Голдстоуном и Готтфридом [3]. После того как мы изложим метод самосогласованного поля, мы покажем, сколь удобно для расчетов свойств систем многих частиц использовать диэлектрическую проницаемость как функцию частоты и волнового числа. В заключение мы обсудим диаграммы Голдстоуна и теорему о связных диаграммах.

Вопросы, затронутые в настоящей главе, хорошо изложены в книге Пайнса [4], где дана также библиография основных работ.

Наиболее прямой подход к расчету энергии корреляции состоит в рассмотрении кулоновского взаимодействия как возмущения, влияющего на пары электронов с антипараллельными спинами, и далее в вычислении энергии корреляции по обычной теории возмущений до второго и более высоких порядков. Во втором порядке кулоновская энергия $\epsilon_{12}^{(2)}$ двух свободных электронов в объеме Ω в состояниях $\mathbf{k}_1 \uparrow, \mathbf{k}_2 \uparrow$ имеет вид

$$\epsilon_{12}^{(2)} = - \sum_{34} \frac{2m \langle 12 | V | 34 \rangle \langle 34 | V | 12 \rangle}{k_3^2 + k_4^2 - k_1^2 - k_2^2}. \quad (6.1)$$

где

$$\begin{aligned} \langle 12 | V | 34 \rangle &= \frac{1}{\Omega^2} \int d^3x d^3y \exp[-i(\mathbf{k}_1 \cdot \mathbf{x} + \mathbf{k}_2 \cdot \mathbf{y})] \times \\ &\times \left(\sum_{\mathbf{K}} \frac{4\pi e^2}{\Omega K^2} \exp[i\mathbf{K} \cdot (\mathbf{x} - \mathbf{y})] \right) \exp[i(\mathbf{k}_3 \cdot \mathbf{x} + \mathbf{k}_4 \cdot \mathbf{y})] = \\ &= \frac{4\pi e^2}{\Omega g^2} \cdot \Delta(\mathbf{k}_1 + \mathbf{k}_2 - \mathbf{k}_3 - \mathbf{k}_4). \end{aligned} \quad (6.2)$$

Здесь $\mathbf{q} = \mathbf{k}_1 - \mathbf{k}_3 = \mathbf{k}_4 - \mathbf{k}_2$ — импульс, передаваемый при взаимодействии электронов с \mathbf{k}_1 и \mathbf{k}_2 , когда они за счет виртуального рассеяния приобретают импульсы \mathbf{k}_3 и \mathbf{k}_4 . Итак,

$$\epsilon_{12}^{(2)} = -m \left(\frac{4\pi e^2}{\Omega} \right)^2 \sum_{\mathbf{q}} \frac{1}{q^4} \frac{1}{\mathbf{q} \cdot (\mathbf{q} + \mathbf{k}_2 - \mathbf{k}_1)}. \quad (6.3)$$

Суммирование по \mathbf{q} можно заменить интегрированием

$$\sum \rightarrow \frac{\Omega}{(2\pi)^3} \int_0^\infty dq \frac{\pi}{q^4} \int_{-1}^1 d\mu \frac{1}{1 + \mu\kappa}, \quad (6.4)$$

где $\kappa = |\mathbf{k}_2 - \mathbf{k}_1|/q$, $\mu = \cos \theta$. Угол θ отсчитывается от направления $\mathbf{k}_2 - \mathbf{k}_1$. Интеграл по $d\theta$ в (6.4) равен

$$\frac{1}{\kappa} \ln \frac{1 + \kappa}{1 - \kappa}.$$

Интеграл по dq дает $1/q^3$ и, очевидно, расходится на нижнем пределе (при $q \rightarrow 0$).

Устранение этой расходимости может быть выполнено при тщательном анализе диаграмм, первоначально развитом Бракнером; оказалось возможным просуммировать во всех порядках наиболее важные члены в разложении теории возмущений. Мы изложим метод Бракнера в приложении (в конце книги). Для

расчета энергии корреляции существуют и более простые методы, но анализ Бракнера представляется нам наиболее наглядным и важным.

В предложенном Бракнером методе расчета энергии корреляции электронного газа в предельном случае высокой плотности в величине энергии имеются вклады во всех порядках теории возмущений. Это связано с дальнодействующим характером кулоновских сил. В задачах, непосредственно отражающих реальные физические ситуации, можно ожидать, что кулоновское взаимодействие пары электронов будет экранироваться (за исключением области малых расстояний) другими электронами системы. Можно ожидать, что невозмущенный потенциал e^2/r в случае учета возмущения примет, по-видимому, иной вид, типа, например, $(e^2/r)e^{-rl_s}$, где l_s — длина экранирования — равна по порядку величины отношению скорости Ферми v_F к плазменной частоте, т. е.

$$l_s \sim v_F \left(\frac{m}{ne^2} \right)^{1/2}$$

Этот экранированный потенциал будет представлять собой бесконечный ряд по степеням $(e^2)^{1/2}$. Нельзя ожидать, что такого рода ряды удастся получить при помощи теории возмущений в каком-то конечном порядке. Расчеты Гелл-Манна и Бракнера [5] позволили получить весьма существенные результаты, но из этих результатов также следует, что применение теории возмущений не является естественным путем для рассмотрения проблемы. Наиболее физически прозрачен, по-видимому, подход, основанный на методе самосогласованного поля в форме, описанной в работе [2].

Метод самосогласованного поля

Рассмотрим отдельную частицу, для которой одночастичный гамильтониан имеет вид $H = H_0 + V(x, t)$, где $H_0 = p^2/2m$, а $V(x, t)$ — самосогласованный потенциал, описывающий взаимодействие этой частицы со всеми прочими частицами системы. Пусть ρ — статистический оператор для одной частицы, т. е. одиночественная матрица плотности. Если Ψ_m — решение одночастичного уравнения Хартри — Фока, то при помощи собственных функций $|k\rangle$ оператора H_0 это решение можно представить в виде ряда¹⁾

$$|m\rangle \equiv \Psi_m(x, t) = \sum_k |k\rangle \langle k | m \rangle. \quad (6.5)$$

¹⁾ Здесь оператор ρ не имеет ничего общего с оператором плотности частиц, введенным в теории вторичного квантования (см. гл. 5).

Тогда матрица плотности может быть определена следующим образом:

$$\langle \mathbf{k}' | \rho | \mathbf{k} \rangle \equiv \sum_m \langle \mathbf{k}' | m \rangle P_m \langle m | \mathbf{k} \rangle, \quad (6.6)$$

где P_m — средняя по ансамблю вероятность того, что состояние m занято. Равновесный статистический оператор ρ_0 для невозмущенной системы ($V=0$) обладает следующим свойством:

$$\rho_0 | \mathbf{k} \rangle = f_0(\epsilon_{\mathbf{k}}) | \mathbf{k} \rangle, \quad (6.7)$$

где $f_0(\epsilon)$ — статистическая функция распределения.

Уравнение движения для $\rho = \rho_0 + \delta\rho$ имеет вид

$$i\dot{\rho} = [H, \rho]. \quad (6.8)$$

Если же мы линеаризуем уравнение (6.8), пренебрегая членами порядка $V\delta\rho$, то получим

$$i\dot{\delta\rho} \approx [H_0, \delta\rho] + [V, \rho_0]. \quad (6.9)$$

Введем далее матричные элементы между состояниями $|\mathbf{k}\rangle$ и $|\mathbf{k}+\mathbf{q}\rangle$:

$$\begin{aligned} i\frac{\partial}{\partial t} \langle \mathbf{k} | \delta\rho | \mathbf{k} + \mathbf{q} \rangle &= \langle \mathbf{k} | [H_0, \delta\rho] | \mathbf{k} + \mathbf{q} \rangle + \langle \mathbf{k} | [V, \rho_0] | \mathbf{k} + \mathbf{q} \rangle = \\ &= (\epsilon_{\mathbf{k}} - \epsilon_{\mathbf{k}+\mathbf{q}}) \langle \mathbf{k} | \delta\rho | \mathbf{k} + \mathbf{q} \rangle + [f_0(\epsilon_{\mathbf{k}+\mathbf{q}}) - f_0(\epsilon_{\mathbf{k}})] V_{\mathbf{q}}(t), \end{aligned} \quad (6.10)$$

тогда

$$V_{\mathbf{q}}(t) = \langle \mathbf{k} | V | \mathbf{k} + \mathbf{q} \rangle = \int d^3x V(\mathbf{x}, t) e^{i\mathbf{q} \cdot \mathbf{x}} \quad (6.11)$$

есть \mathbf{q} -я фурье-компоненты потенциала $V(\mathbf{x}, t)$. Другие фурье-компоненты в настоящем разделе определяются подобным же образом.

Потенциал V состоит из потенциала внешнего поля V^0 и экранирующего потенциала V^s , связанного с индуцированным изменением электронной плотности δn .

Таким образом, V^0 может быть, например, потенциалом заряженной примеси, а V^s — потенциалом экранирующих зарядов в электронном газе, индуцированным потенциалом V_0 . Итак, индуцированное изменение электронной плотности равно

$$\begin{aligned} \delta n(\mathbf{x}) &= \sum_m |m\rangle P_m \langle m| = \sum_m \sum_{\mathbf{k}\mathbf{k}'} |\mathbf{k}'\rangle \langle \mathbf{k}' | m \rangle P_m \langle m | \mathbf{k} \rangle \langle \mathbf{k}| = \\ &= \sum_{\mathbf{k}\mathbf{k}'} |\mathbf{k}'\rangle \langle \mathbf{k}| \langle \mathbf{k}' | \rho | \mathbf{k} \rangle = \sum_{\mathbf{q}} e^{-i\mathbf{q} \cdot \mathbf{x}} \sum_{\mathbf{k}'} \langle \mathbf{k}' | \delta\rho | \mathbf{k}' + \mathbf{q} \rangle = \sum_{\mathbf{q}} e^{-i\mathbf{q} \cdot \mathbf{x}} \delta n_{\mathbf{q}}. \end{aligned} \quad (6.12)$$

Экранирующий потенциал связан с $\delta n(\mathbf{x})$ уравнением Пуассона

$$\nabla^2 V^s = -4\pi e^2 \delta n, \quad q^2 V_q^s(t) = -4\pi e^2 \langle \mathbf{k} | \delta n | \mathbf{k} + \mathbf{q} \rangle, \quad (6.13)$$

и, следовательно,

$$V_q^s(t) = \frac{4\pi e^2}{q^2} \sum_{\mathbf{k}'} \langle \mathbf{k}' | \delta n | \mathbf{k}' + \mathbf{q} \rangle. \quad (6.14)$$

Комбинируя (6.10) и (6.14), получим уравнение движения для случая отсутствия внешнего возмущения:

$$i \frac{\partial}{\partial t} \langle \mathbf{k} | \delta n | \mathbf{k} + \mathbf{q} \rangle = (\epsilon_{\mathbf{k}} - \epsilon_{\mathbf{k}+\mathbf{q}}) \langle \mathbf{k} | \delta n | \mathbf{k} + \mathbf{q} \rangle + \\ + \frac{4\pi e^2}{q^2} [f_0(\epsilon_{\mathbf{k}+\mathbf{q}}) - f_0(\epsilon_{\mathbf{k}})] \sum_{\mathbf{k}'} \langle \mathbf{k}' | \delta n | \mathbf{k}' + \mathbf{q} \rangle. \quad (6.15)$$

Это уравнение имеет тот же вид, что и полученное Бомом и Пайнсом (см. обзор [6]) в приближении хаотических фаз.

Свойства электронного газа, в котором имеет место взаимодействие между электронами, удобно выражать через продольную диэлектрическую проницаемость $\epsilon(\omega, \mathbf{q})$. Мы можем определить диэлектрическую проницаемость различными эквивалентными способами. Согласно обычному определению диэлектрическая проницаемость связывает компоненты поляризации P_q с продольным электрическим полем E_q следующим образом:

$$E_q + 4\pi P_q = \epsilon(\omega, \mathbf{q}) E_q = D_q. \quad (6.16)$$

Напомним, что $V = V^0 + V^s$ есть суммарный потенциал, где V^0 — потенциал внешних источников, а V^s — потенциал индуцированного заряда. Соотношение (6.16) эквивалентно соотношению

$$V_q - V_q^s = \epsilon(\omega, \mathbf{q}) V_q, \quad (6.17)$$

поскольку продольная поляризация P_q создает индуцированное электрическое поле $-E_q^s/4\pi$, где E_q^s соответствует потенциалу V_q^s . Итак,

$$\epsilon(\omega, \mathbf{q}) = \frac{V_q^0}{V_q} \quad (6.18)$$

представляет собой отношение внешнего потенциала к эффективному потенциальному. Далее имеем

$$\operatorname{div} \mathbf{P} = e \delta n, \quad -iqP_q = e \delta n_q, \quad eE_q = -iqV_q, \quad (6.19)$$

и, следовательно,

$$\epsilon(\omega, \mathbf{q}) = 1 + 4\pi \left(\frac{P_{\mathbf{q}}}{E_{\mathbf{q}}} \right) = 1 - 4\pi \frac{e^2 \delta n_{\mathbf{q}}}{q^2 V_{\mathbf{q}}}, \quad (6.20)$$

где ω — частота, связанная с $V_{\mathbf{q}}$. Определение диэлектрической проницаемости соотношением (6.16) используется также ниже, в формуле (6.40), но там оно оказывается удобным для обсуждения (6.42), т. е. зависимости диэлектрической проницаемости от плотности пробного и индуцированного зарядов.

Теперь, если в уравнении движения (6.10) рассматривать потенциал $V_{\mathbf{q}}(t)$ как зависящую со временем силу, определяющую поведение системы, то мы имеем

$$\langle \mathbf{k} | \delta p | \mathbf{k} + \mathbf{q} \rangle = \frac{f_0(\epsilon_{\mathbf{k}+\mathbf{q}}) - f_0(\epsilon_{\mathbf{k}})}{\epsilon_{\mathbf{k}+\mathbf{q}} - \epsilon_{\mathbf{k}} + \omega + i\delta} V_{\mathbf{q}}, \quad (6.21)$$

причем

$$\delta n_{\mathbf{q}} = \sum_{\mathbf{k}} \langle \mathbf{k} | \delta p | \mathbf{k} + \mathbf{q} \rangle = \sum_{\mathbf{k}} \frac{f_0(\epsilon_{\mathbf{k}+\mathbf{q}}) - f_0(\epsilon_{\mathbf{k}})}{\epsilon_{\mathbf{k}+\mathbf{q}} - \epsilon_{\mathbf{k}} + \omega + i\delta} V_{\mathbf{q}}. \quad (6.22)$$

Наконец, мы можем записать следующее выражение для продольной диэлектрической проницаемости в приближении самосогласованного поля:

$$\epsilon_{\text{SCP}}(\omega, \mathbf{q}) = 1 - \lim_{\delta \rightarrow +0} \frac{4\pi e^2}{q^2} \sum_{\mathbf{k}} \frac{f_0(\epsilon_{\mathbf{k}+\mathbf{q}}) - f_0(\epsilon_{\mathbf{k}})}{\epsilon_{\mathbf{k}+\mathbf{q}} - \epsilon_{\mathbf{k}} + \omega + i\delta}. \quad (6.23)$$

Это очень важный результат, при помощи которого мы можем вычислять многие характеристики системы, включая и энергию корреляции. Приведенное выражение (6.23) является приближенным, поскольку при его выводе мы исходили из одночастичного, а не многочастичного гамильтонiana. Приближение состоит в том, что электрон рассматривается как свободная частица, движущаяся в поле, описываемом усредненным потенциалом $V(\mathbf{x}, t)$ системы. Полученный результат эквивалентен результату Нозьера и Пайнса, установленному в приближении хаотических фаз. Вычисление поперечной диэлектрической проницаемости электронного газа предоставляется читателю в виде упражнения (см. задачу 16.3).

В предельном случае $\omega \gg k_F q/m$ выражение (6.23) принимает вид

$$\epsilon(\omega, \mathbf{q}) \approx 1 - \frac{\omega_p^2}{\omega^2} + \epsilon \frac{e^2}{2\pi q^2} \int d^3 k \mathbf{q} \cdot \frac{\partial f_0}{\partial \mathbf{k}} \delta \left(\omega + \frac{\mathbf{k} \cdot \mathbf{q}}{m} \right); \quad (6.24)$$

здесь введено обозначение $\omega_p^2 = 4\pi ne^2/m$ и использовано известное тождество

$$\lim_{s \rightarrow +0} \frac{1}{x+is} = \mathcal{P} \frac{1}{x} - i\pi\delta(x). \quad (6.25)$$

Здесь \mathcal{P} — символ главного значения. При абсолютном нуле поглощение, определяемое величиной $\text{Im}\{\epsilon\}$, исчезает, если $\omega > k_F q/m$; в этом случае мы говорим, что имеем дело с плазменной областью. При $\omega < k_F q/m$ мнимая часть ϵ при абсолютном нуле равна $2m^2e^2\omega/q^3$; вещественная часть ϵ в (6.24) получается, если записать

$$f_0(\epsilon_{k+q}) - f_0(\epsilon_k) \approx \mathbf{q} \cdot \frac{\partial f_0}{\partial \mathbf{k}} \quad (6.26)$$

и

$$\frac{1}{\omega + \mathbf{k} \cdot (\mathbf{q}/m)} \approx \frac{1}{\omega} \left(1 - \frac{\mathbf{k} \cdot \mathbf{q}}{m\omega} \right). \quad (6.27)$$

Вещественная часть ϵ имеет тогда тот же вид, что и диэлектрическая проницаемость плазмы при $q=0$ (см. гл. 3). Решив уравнения движения (6.15) для неподвижной системы, получим приближенные собственные частоты в виде функций от \mathbf{q} . Эти собственные частоты являются как раз корнями выражения для $\epsilon(\omega, \mathbf{q})$ в виде (6.23). Найденные уравнения движения эквивалентны рассмотренным в работе [7]. Собственные значения получаются двух типов: значения первого типа — $\omega \approx \epsilon_{k+q} - \epsilon_k$ — описывают энергию, необходимую для образования пары электрон — дырка путем перехода электрона из состояния \mathbf{k} ферми-фона в состояние $\mathbf{k}+\mathbf{q}$ вне ферми-фона. Собственные значения второго типа появляются при малых \mathbf{q} и определяются уравнением $\omega^2 \approx 4\pi ne^2/m$. Таким образом, имеются колективные возбуждения и наряду с ними возбуждения, носящие характер квазичастиц, но полное число степеней свободы равно $3n$.

Мнимый член в (6.24) характеризует затухание плазменных колебаний (которое называют затуханием Ландау). Величина затухания определяется числом частиц, компоненты скорости которых k^b/m в направлении \mathbf{q} распространения колективного возбуждения равны фазовой скорости ω/q распространения возбуждения. Колебания именно этих частиц оказываются в фазе с возбуждением и именно они «отбирают» от него энергию. Такое затухание существенно при больших значениях q ; тогда плазмоны уже нельзя считать «хорошими» нормальными колебаниями. В вырожденном ферми-газе максимальная скорость электронов равна v_F ; при значениях q , удовлетворяющих условию $\omega/q > v_F$, в плазме не могут существовать частицы, перемещающиеся с указанной фазовой скоростью. Это значит, что

мнимая часть $\epsilon(\omega, q)$ обращается в нуль для $q < q_c = \omega_p/v_F$. Пользуясь (5.71) и (5.73), получим $q_c/k_F = 0,48r_s^{1/2}$. Если все колебания, для которых $q > q_c$ мы будем считать колебаниями отдельных частиц, то для отношения числа плазмонных колебаний n' к полному числу степеней свободы $3n$ получим

$$\frac{n'}{3n} = \frac{1}{2 \cdot 3} (0,48)^3 r_s^{3/2} = 0,018 r_s^{3/2}, \quad (6.28)$$

где двойка в знаменателе появляется из-за спина. В случае натрия $r_s = 3,96$ и, следовательно, 14% степеней свободы связано с плазмонными колебаниями.

Теперь подведем итоги. При малых q нормальные колебания системы — плазмоны; при больших q нормальные колебания в основном представляют собой возбуждения отдельных частиц.

Плазмоны в металлах наблюдались в виде дискретных пиков на кривой зависимости энергетических потерь от напряжения для быстрых электронов, проходящих через тонкие металлические пленки. Более подробные данные о плазонах были получены в экспериментах по наблюдению светового излучения, испускаемого возбужденными плазонами [8, 9]. Угловое распределение интенсивности излучения, т. е. ее зависимость от направления наблюдения, а также от толщины пленки были предсказаны в работе [10].

Энергии, соответствующие пикам на экспериментально полученной кривой энергетических потерь, и значения плазменных частот (в электрон-вольтах), вычисленные для предполагаемых валентностей, даны в приводимой ниже таблице.

Элемент	Be	B	C	Mg	Al	Si	Ge
Валентность	2	3	4	2	3	4	4
$\omega_{\text{выч. эв}}$	19	24	25	11	16	17	16
$\Delta E_{\text{набл. эв}}$	19	19	22	10	15	17	17

При вычислении значений плазменных частот введены поправки на диэлектрическую проницаемость ионных остовов. Для щелочных металлов сравнения экспериментальных данных с вычисленными также обнаруживают поразительное совпадение: пики на кривой неупругих потерь, как и следовало ожидать, очень близки к граничным частотам для оптической прозрач-

ности. В этом легко убедиться при рассмотрении данных следующей таблицы.

Элемент	Li	Na	K
$\omega_{\text{выч.}}$, эв	8,0	5,7	3,9
ΔE , эв	9,5	5,4	3,8
$\omega_{\text{опт.}}$, эв	8,0	5,9	3,9

Диэлектрическая проницаемость в модели Томаса — Ферми. Приближение Томаса — Ферми при вычислении диэлектрической проницаемости электронного газа соответствует квазистатическому приближению ($\omega \rightarrow 0$), применимому в случае больших длин волн ($q/k_F \ll 1$). Основное предположение [11] состоит в том, что локальная плотность электронов $n(\mathbf{x})$ удовлетворяет соотношению

$$n(\mathbf{x}) \sim [\epsilon_F - V(\mathbf{x})]^{1/2}, \quad (6.29)$$

где $V(\mathbf{x})$ — потенциальная энергия, а ϵ_F — энергия Ферми. Таким образом, для «слабого» потенциала можно написать

$$\delta n \approx -\frac{3n}{2\epsilon_F} V, \quad (6.30)$$

или для соответствующих фурье-компонент —

$$\delta n_{\mathbf{q}} \approx -\frac{3n}{2\epsilon_F} V_{\mathbf{q}}. \quad (6.31)$$

Но, согласно уравнению Пуассона (6.13), вариация $\delta n_{\mathbf{q}}$ соответствует изменению потенциала $V_{\mathbf{q}}^s$, т. е.

$$\delta n_{\mathbf{q}} = \frac{q^2}{4\pi e^2} V_{\mathbf{q}}^s. \quad (6.32)$$

Из определения (6.18) диэлектрической проницаемости имеем для случая модели Томаса — Ферми

$$\epsilon_{TF}(\mathbf{q}) = \frac{V_{\mathbf{q}} - V_{\mathbf{q}}^s}{V_{\mathbf{q}}} = 1 - \frac{(4\pi e^2 \delta n_{\mathbf{q}} / q^2)}{(-2\epsilon_F \delta n_{\mathbf{q}} / 3n)}, \quad (6.33)$$

или

$$\epsilon_{TF}(\mathbf{q}) = \frac{q^2 + k_s^2}{q^2},$$

(6.34)

где

$$k_s^2 = \frac{6\pi n e^2}{\epsilon_F}. \quad (6.35)$$

Отметим, что $V_{\mathbf{q}} - V_{\mathbf{q}}^s$ — внешний потенциал, а $(V_{\mathbf{q}} - V_{\mathbf{q}}^s) + V_{\mathbf{q}}^s \equiv V_{\mathbf{q}}$ — эффективный потенциал. Можно ожидать, что выражение для диэлектрической проницаемости в модели Томаса — Ферми (6.34) будет частным случаем этого выражения, полученного в приближении самосогласованного поля (6.23), когда $\omega = 0$ и $q/k_F \ll 1$. Действительно, в этом предельном случае

$$\epsilon_{SCF}(0, \mathbf{q}) \approx 1 - \left(\frac{4\pi e^2}{q^2} \right) \frac{2m}{(2\pi)^3} \int d^3k \frac{\mathbf{q} \cdot \partial f_0 / \partial \mathbf{k}}{\mathbf{q} \cdot \mathbf{k}} = 1 + \left(\frac{4\pi e^2}{q^2} \right) \frac{8\pi m k_F}{(2\pi)^3}. \quad (6.36)$$

Это выражение совпадает с (6.34), поскольку $m = k_F^2/2\epsilon_F$, а $k_F^3 = 3\pi l^2$.

Диэлектрический формализм [12]

Вычисление диэлектрической проницаемости по методу самосогласованного поля основано на модели независимых частиц и является лишь приближенным. Теперь мы вычислим более общее выражение для диэлектрической проницаемости при помощи матричных элементов между *точными собственными функциями* системы многих тел. Представим себе, что мы ввели в систему пробный заряд, распределение которого характеризуется волновым вектором \mathbf{q} и частотой ω . Плотность пробного заряда будем описывать функцией

$$er_{\mathbf{q}} [\exp[-i(\omega t + \mathbf{q} \cdot \mathbf{x})] + \exp[i(\omega t + \mathbf{q} \cdot \mathbf{x})]],$$

где $r_{\mathbf{q}}$ — вещественная величина. В отсутствие пробного заряда среднее значение $\langle \rho_{\pm\mathbf{q}} \rangle$ операторов $\rho_{\mathbf{q}}$ флюктуаций плотности заряда всех частиц будет равно нулю. Напомним, что, согласно (5.118),

$$\rho_{\mathbf{q}} = \sum_{\mathbf{k}} c_{\mathbf{k}-\mathbf{q}}^+ c_{\mathbf{k}}. \quad (6.37)$$

При наличии пробного заряда $\langle \rho_{\pm\mathbf{q}} \rangle \neq 0$. Попытаемся решить задачу для компоненты плотности индуцированных зарядов.

По определению \mathbf{D} и \mathbf{E} имеем

$$\operatorname{div} \mathbf{D} = 4\pi \text{ (плотность пробного заряда)}, \quad (6.38)$$

$$\operatorname{div} \mathbf{E} = 4\pi \text{ (плотность пробного заряда + плотность индуцированного заряда)}. \quad (6.39)$$

Вводя теперь соответствующую этой ситуации диэлектрическую проницаемость $\epsilon(\omega, \mathbf{q})$, получим

$$-i\mathbf{q} \cdot \mathbf{D}_{\mathbf{q}} = -i\epsilon(\omega, \mathbf{q})\mathbf{q} \cdot \mathbf{E}_{\mathbf{q}} = 4\pi e r_{\mathbf{q}} e^{-i\omega t}, \quad (6.40)$$

$$-i\mathbf{q} \cdot \mathbf{E}_{\mathbf{q}} = 4\pi e (r_{\mathbf{q}} e^{-i\omega t} + \langle \rho_{\mathbf{q}} \rangle). \quad (6.41)$$

Разделив (6.41) на (6.40), получим

$$\frac{1}{\epsilon(\omega, \mathbf{q})} = 1 + \frac{\langle \rho_{\mathbf{q}} \rangle}{r_{\mathbf{q}} e^{-i\omega t}} = \frac{\text{полный заряд}}{\text{пробный заряд}}. \quad (6.42)$$

Вычислим теперь величину $\langle \rho_{\mathbf{q}} \rangle$, характеризующую реакцию системы на введение пробного заряда. Гамильтониан системы равен $H = H_0 + H'$, где для образца единичного объема имеем, согласно (5.113),

$$H_0 = \sum_i \frac{p_i^2}{2m} + \sum_{\mathbf{q}} \frac{2\pi e^2}{q^2} (\rho_{\mathbf{q}}^+ \rho_{\mathbf{q}}^- - n); \quad (6.43)$$

H' — оператор кулоновского взаимодействия между системой и пробным зарядом — имеет вид

$$H' = \frac{4\pi e^2}{q^2} \rho_{-\mathbf{q}} r_{\mathbf{q}} \exp[-i\omega t + st] + \text{к. с.} \quad (6.44)$$

При адиабатическом включении взаимодействия величина s мала и положительна. Предполагается, что пробный заряд достаточно мал, поэтому реакция системы на внесение пробного заряда носит линейный характер. Будем считать, что в начальный момент ($t = -\infty$) система находится в основном состоянии Φ_0 . После внесения пробного заряда $\Phi_0 \rightarrow \Phi_0(r_{\mathbf{q}})$. Функция $\Phi_0(r_{\mathbf{q}})$ представляет собой решение уравнения Шредингера, найденное в первом приближении теории возмущений, зависящих от времени, т. е.

$$\Phi_0(r_{\mathbf{q}}) = \Phi_0 - \sum_n \frac{4\pi e^2}{q^2} r_{\mathbf{q}} \left(\frac{\langle n | \rho_{-\mathbf{q}} | 0 \rangle \exp(-i\omega t + st)}{\omega + \omega_{n0} - is} + \frac{\langle n | \rho_{\mathbf{q}} | 0 \rangle \exp(i\omega t + st)}{\omega + \omega_{n0} + is} \right) \Phi_n, \quad (6.45)$$

где $\epsilon_n = \epsilon_0 = \omega_{n0}$. Тогда с точностью до членов первого порядка относительно $r_{\mathbf{q}} \exp(-i\omega t + st)$ имеем

$$\langle \Phi_0(r_{\mathbf{q}}) | \rho_{\mathbf{q}} | \Phi_0(r_{\mathbf{q}}) \rangle = -\frac{4\pi e^2}{q^2} r_{\mathbf{q}} \exp(-i\omega t + st) \times \sum_n \langle n | \rho_{\mathbf{q}} | 0 \rangle^2 \left(\frac{1}{\omega + \omega_{n0} + is} + \frac{1}{-\omega + \omega_{n0} - is} \right), \quad (6.46)$$

где использовано свойство симметрии $|\langle n | \rho_q | 0 \rangle|^2 = |\langle n | \rho_{-q} | 0 \rangle|^2$. Подставляя (6.46) в (6.42), получаем точный результат

$$\boxed{\frac{1}{\epsilon(\omega, q)} = 1 - \frac{4\pi e^2}{q^2} \sum_n |\langle n | \rho_q | 0 \rangle|^2 \left\{ \frac{1}{\omega + \omega_{n0} + is} + \frac{1}{-\omega + \omega_{n0} - is} \right\}.} \quad (6.47)$$

Собственные частоты системы определяются как корни уравнения $\epsilon(\omega, q) = 0$, поскольку, согласно (6.42), каждый корень является особой точкой, соответствующей собственному колебанию, возникшему в силу реакции системы на внесение пробного заряда. Используя тождество

$$\lim_{s \rightarrow +0} \frac{1}{x \pm is} = \mathcal{P} \frac{1}{x} \mp i\pi\delta(x), \quad (6.48)$$

получим для мнимой части (6.47)

$$\text{Im} \left(\frac{1}{\epsilon(\omega, q)} \right) = \frac{4\pi e^2}{q^2} \sum_n |\langle n | \rho_q | 0 \rangle|^2 [\delta(\omega + \omega_{n0}) - \delta(\omega - \omega_{n0})]. \quad (6.49)$$

Проинтегрировав (6.49) по всем положительным частотам ω , найдем

$$\int_0^\infty d\omega \text{Im} \left(\frac{1}{\epsilon(\omega, q)} \right) = -\frac{4\pi^2 e^2}{q^2} \sum_n |\langle n | \rho_q | 0 \rangle|^2 = -\frac{4\pi^2 e^2}{q^2} \langle 0 | \rho_q^+ \rho_q^- | 0 \rangle. \quad (6.50)$$

Напомним, что волновые функции, использованные в качестве базиса в данном рассмотрении, являются истинными собственными функциями данной задачи с учетом внутренних взаимодействий.

Среднее значение энергии кулоновского взаимодействия в основном состоянии, согласно (5.113), можно представить в виде

$$E_{\text{взаим}} = \langle 0 | \sum_q' \frac{2\pi e^2}{q^2} (\rho_q^- \rho_q^+ - n) | 0 \rangle, \quad (6.51)$$

или

$$E_{\text{взаим}} = - \sum_q \left\{ \frac{1}{2\pi} \int_0^\infty d\omega \text{Im} \left(\frac{1}{\epsilon(\omega, q)} \right) + \frac{2\pi ne^2}{q^2} \right\}. \quad (6.52)$$

Это выражение формально определяет кулоновскую энергию точного основного состояния через мнимую часть диэлектрической проницаемости. Мы не получим, разумеется, энергии точного основного состояния, если просто добавим $E_{\text{взаим}}$ к энер-

гии невозмущенного основного состояния, поскольку кинетическая энергия последнего изменяется вследствие кулоновского взаимодействия. Иначе говоря, Φ_0 есть функция e^2 . Чтобы получить полную энергию точного основного состояния, мы пользуемся следующей теоремой.

Теорема. Пусть дан гамильтониан

$$H = H_0 + gH_{\text{взаим}}, \quad (6.53)$$

где H_0 — кинетическая энергия, g — константа связи, а собственное значение оператора H имеет вид

$$E_{\text{взаим}}(g) = \langle \Phi_0(g) | gH_{\text{взаим}} | \Phi_0(g) \rangle. \quad (6.54)$$

Тогда точное значение полной энергии основного состояния

$$E_0(g) = \langle \Phi_0(g) | H_0 + gH_{\text{взаим}} | \Phi_0(g) \rangle \quad (6.55)$$

определяется выражением

$$E_0(g) = E_0(0) + \int_0^g g^{-1} E_{\text{взаим}}(g) dg. \quad (6.56)$$

Доказательство. Согласно (6.54) и (6.55) имеем

$$\frac{dE_0}{dg} = g^{-1} E_{\text{взаим}}(g) + E_0(g) \frac{d}{dg} \langle \Phi_0(g) | \Phi_0(g) \rangle, \quad (6.57)$$

где второй член в правой части уравнения равен нулю, поскольку по условию нормировки он не зависит от величины g . Здесь $E_0(g)$ — точное собственное значение, а $\Phi_0(g)$ — точная собственная функция. Таким образом, мы имеем частный случай теоремы Фейнмана

$$\frac{dE_0}{dg} = g^{-1} E_{\text{взаим}}(g), \quad (6.58)$$

откуда, после интегрирования, сразу получаем искомый результат (6.56).

В задаче об электронном газе для энергии основного состояния на единицу объема (без кулоновского взаимодействия) было получено выражение

$$E_0(0) = \frac{3}{5} n e_F. \quad (6.59)$$

Константа связи $g = e^2$, так что, определив величину $E_{\text{взаим}}$ из (6.52) или иным путем, мы можем, пользуясь (6.56), найти полную энергию при наличии кулоновского взаимодействия. Например, если мы приближенно, пользуясь выражением (6.47), вычислим величину $1/\epsilon(\omega, q)$, взяв матричные элементы в представлении плоских волн, то получим энергию взаимодей-

ствия $E_{\text{взаим}}$ точно равной обычному выражению для энергии обмена в приближении Хартри — Фока. Поскольку в этом приближении в Φ_0 не всегда входит e^2 , энергия основного состояния будет просто равна сумме $E_{\text{взаим}}$ и энергии Ферми. Значительно лучший результат для энергии получается, если воспользоваться выражением для диэлектрической проницаемости (6.23), вытекающим из теории самосогласованного поля.

Если дельта-функцию взять в виде интеграла и ввести в (6.49), то получим

$$\begin{aligned} \text{Im} \left(\frac{1}{\epsilon(\omega, \mathbf{q})} \right) &= \\ = \frac{4\pi e^2}{q^2} \sum_{ij} \frac{1}{2\pi} \int dt (e^{i\omega t} - e^{-i\omega t}) \langle \exp[-i\mathbf{q} \cdot \mathbf{x}_i(0)] \exp[i\mathbf{q} \cdot \mathbf{x}_j(t)] \rangle, \end{aligned} \quad (6.60)$$

где \mathbf{x}_i — переменные в представлении Гейзенберга. Воспользуемся введенной Ван Хове [13] функцией $\mathcal{S}(\omega, \mathbf{q})$, называемой динамическим структурным фактором. Эта функция определяется следующим выражением:

$$\boxed{\mathcal{S}(\omega, \mathbf{q}) = \sum_{ij} \frac{1}{2\pi} \int dt \exp[-i\omega t] \langle \exp[-i\mathbf{q} \cdot \mathbf{x}_i(0)] \exp[i\mathbf{q} \cdot \mathbf{x}_j(t)] \rangle.} \quad (6.61)$$

Она обладает тем свойством, что представляет собой фурье-образ функции парного распределения

$$\begin{aligned} G(\mathbf{x}, t) &= N^{-1} \left\langle \sum_{ij} \int d^3x' \delta[\mathbf{x} - \mathbf{x}_i(0) + \mathbf{x}'] \delta[\mathbf{x}' - \mathbf{x}_j(t)] \right\rangle = \\ &= N^{-1} \left\langle \sum_{ij} \delta[\mathbf{x} - \mathbf{x}_i(0) + \mathbf{x}_j(t)] \right\rangle. \end{aligned} \quad (6.62)$$

Таким образом,

$$\mathcal{S}(\omega, \mathbf{q}) = \frac{N}{2\pi} \int d^3x dt \exp[i(\mathbf{q} \cdot \mathbf{x} - \omega t)] G(\mathbf{x}, t). \quad (6.63)$$

В дальнейшем при рассмотрении задачи о дифракции нейтронов мы увидим, что функция $\mathcal{S}(\omega, \mathbf{q})$ описывает рассеивающие свойства системы в первом борновском приближении (см. также задачи 2.6, 6.9, 6.10).

Используя (5.110), мы можем также представить $\mathcal{S}(\omega, \mathbf{q})$ в виде

$$\mathcal{S}(\omega, \mathbf{q}) = \frac{1}{2\pi} \int dt e^{-i\omega t} \langle p_{\mathbf{q}}(t) p_{\mathbf{q}}^+(0) \rangle = \sum_n |\langle n | p_{\mathbf{q}}^+ | 0 \rangle|^2 \delta(\omega - \omega_{n0}). \quad (6.64)$$

Итак, $\mathcal{S}(\omega, \mathbf{q})$ действительно можно считать структурным фактором, который описывает спектр элементарных возбуждений, в данном случае — флуктуации плотности системы. Это представление может быть равным образом использовано как для бозонных, так и для фермионных систем, только в каждом случае в разложении для $\rho_{\mathbf{q}}$ надо брать соответствующие операторы.

Из выражений (6.60) и (6.61) имеем

$$\text{Im} \left(\frac{1}{\epsilon(\omega, \mathbf{q})} \right) = \frac{4\pi e^2}{q^2} [\mathcal{S}(-\omega, \mathbf{q}) - \mathcal{S}(\omega, \mathbf{q})]. \quad (6.65)$$

Это соотношение устанавливает связь между диэлектрической проницаемостью и корреляционной функцией $\mathcal{S}(\omega, \mathbf{q})$.

Диэлектрическое экранирование точечных заряженных примесей

Диэлектрический формализм проблемы многих тел находит интересное применение в задаче об экранировании точечных заряженных примесей в электронном газе. Экранирование кулоновского потенциала электронным газом является важным эффектом. Дело в том, что экранирование электрон-электронного взаимодействия в модели свободных электронов или в модели квазичастиц «работает» столь же хорошо и в процессах переноса. Экранирование заряженных примесей приводит к ряду важных следствий и в теории сплавов.

Пусть заряд точечной примеси равен Z ; распределение плотности этого заряда можно описать функцией

$$\rho(\mathbf{x}) = Z \delta(\mathbf{x}) = \frac{Z}{(2\pi)^3} \int d^3 q e^{i\mathbf{q} \cdot \mathbf{x}}. \quad (6.66)$$

Потенциал заряда в свободном пространстве равен

$$V_0(\mathbf{x}) = \frac{Z}{r} = \frac{1}{(2\pi)^3} \int d^3 q \frac{4\pi}{q^2} e^{i\mathbf{q} \cdot \mathbf{x}}, \quad (6.67)$$

при наличии среды в области, где реакцию можно считать линейной, он принимает вид

$$V(\mathbf{x}, \omega) = \frac{Z}{(2\pi)^3} \int d^3 q \frac{4\pi}{q^2 \epsilon(\omega, \mathbf{q})} e^{i\mathbf{q} \cdot \mathbf{x}}. \quad (6.68)$$

Обычно мы имеем дело с потенциалом $V(\mathbf{x})$, т. е. с величиной $V(\mathbf{x}, \omega)$ при $\omega=0$, поскольку считаем распределение примесей стационарным. Нас интересует также распределение заряда $\Delta\rho(\mathbf{x})$, индуцированного зарядом плотностью $Z\delta(\mathbf{x})$. Воспользовавшись выражением (6.68) для случая $\omega=0$ и уравнением

$$\nabla^2 V = -4\pi [\Delta\rho + Z\delta(\mathbf{x})], \quad (6.69)$$

получим

$$\Delta\rho(\mathbf{x}) = \frac{Z}{(2\pi)^3} \int d^3q \left(\frac{1}{\epsilon(0, \mathbf{q})} - 1 \right) e^{i\mathbf{q}\cdot\mathbf{x}}. \quad (6.70)$$

Если функция $1/\epsilon(0, \mathbf{q})$ имеет полюсы, то должны появиться объемные колебания плотности экранированного заряда. Полная величина $\Delta\rho$ смещенного при экранировании заряда запишется в виде

$$\begin{aligned} \Delta\rho = \int d^3x \Delta\rho(\mathbf{x}) &= \frac{Z}{(2\pi)^3} \int d^3q \int d^3x \left(\frac{1}{\epsilon(0, \mathbf{q})} - 1 \right) e^{i\mathbf{q}\cdot\mathbf{x}} = \\ &= Z \int d^3q \delta(\mathbf{q}) \left(\frac{1}{\epsilon(0, \mathbf{q})} - 1 \right) = Z \left(\frac{1}{\epsilon(0, 0)} - 1 \right) \end{aligned} \quad (6.71)$$

Входящую сюда величину $\epsilon(0, 0)$ не всегда можно считать хорошо определенной, так как она может зависеть от того, в какой последовательности стремятся к нулю значения аргументов ω и \mathbf{q} .

Рассмотрим теперь экранирование в некоторых частных случаях, соответствующих разным приближенным методам описания системы.

а. *Модель Томаса — Ферми.* Диэлектрическая проницаемость в этом приближении определяется выражениями (6.34) и (6.35), т. е.

$$\epsilon_{TF}(0, \mathbf{q}) \approx 1 + \frac{k_s^2}{q^2}; \quad k_s^2 = \frac{6\pi ne^2}{\epsilon_F} = \frac{4k_F}{a_H} \approx \frac{2,6}{r_s}. \quad (6.72)$$

Здесь a_H — боровский радиус, r_s — радиус сферы s , выраженный в единицах боровского радиуса. Согласно (6.68), экранирующий потенциал равен

$$V(\mathbf{x}) = \frac{Z}{(2\pi)^3} \int d^3q \frac{4\pi}{q^2 + k_s^2} e^{i\mathbf{q}\cdot\mathbf{x}} = \frac{Z}{r} e^{-k_s r}, \quad (6.73)$$

а соответствующая этому случаю длина экранирования —

$$l_s = \frac{1}{k_s} \sim n^{-1/3}. \quad (6.74)$$

В случае меди $k_s \approx 1,8 \cdot 10^8 \text{ см}^{-1}$, и, следовательно, $l_s \approx 0,55 \cdot 10^{-8} \text{ см}$. В случае калия l_s примерно вдвое больше, чем для меди. Экранирование является очень важной характеристикой электронного газа. Экранирующий заряд, располагающийся вокруг примеси, сосредоточен в основном внутри сферы, в центре которой расположена точечная примесь, а взаимодействие примесных атомов между собой мало.

Из выражения (6.71) следует, что экранирующий заряд равен $-Z$. Плотность индуцированного заряда составляет

$$\Delta\rho(x) = -\frac{1}{4\pi} \nabla^2 V = -\frac{k_s^2 Z}{4\pi r} e^{-k_s r}. \quad (6.75)$$

Эта функция имеет особенность при $r=0$; величина ее монотонно уменьшается при возрастании r . Вытекающее отсюда бесконечное значение электронной плотности на ядре противоречит наблюдаемому конечному времени жизни позитронов в металле и конечному значению найденного сдвига для атомов примеси.

б. *Приближение Хартри.* Диэлектрическая проницаемость определяется в задаче 6.1. Величина экранирующего заряда получается бесконечной, так как кулоновское взаимодействие между электронами не учитывается.

в. *Метод самосогласованного поля или приближение хаотических фаз.* В этом случае для диэлектрической проницаемости имеем выражение (6.23); непосредственное сравнение последнего с выражением, полученным в задаче 6.1 (в приближении Хартри), дает (для $\omega=0$) соотношение

$$\epsilon_{SCF} = 2 - \frac{1}{\epsilon_H} = 1 + \frac{k_s^2}{2q^2} g(q), \quad (6.76)$$

где ϵ_H — диэлектрическая проницаемость в приближении Хартри. Общее обсуждение вопроса о связи между ϵ_H и ϵ_{SCF} имеется в книге Пайнса [4]. В этом случае мы видим, что полный экранирующий заряд равен $-Z$. При $\omega=0$ функция диэлектрической проницаемости имеет особенность типа $(q - 2k_F) \ln|q - 2k_F|$, и поэтому выражение для плотности заряда содержит осциллирующие члены, которые при больших r имеют вид $r^{-3} \cos 2k_F r$. Пример графика соответствующей зависимости приведен на рис. 6.1.

Что произойдет при $q=2k_F$? При $q < 2k_F$ вектор может расположиться так, что оба его конца будут лежать на поверхности Ферми. Таким образом, энергетический знаменатель в выражении (6.23) может быть малым и, следовательно, соответствующий вклад в величину диэлектрической проницаемости окажется значительным. Однако при $q > 2k_F$ невозможно удалить электрон из занятого состояния \mathbf{k} и перенести его в незанятое состояние $\mathbf{k} + \mathbf{q}$ так, чтобы закон сохранения энергии соблюдался хотя бы приближенно. В этом случае энергетический знаменатель всегда велик, и поэтому вклад всех процессов в величину диэлектрической проницаемости мал.

Кон подметил следующее интересное обстоятельство. Внезапный скачок диэлектрической проницаемости при возрастании q выше $2k_F$ должен сопровождаться небольшим внезапным

возрастанием собственной частоты $\omega(\mathbf{q})$ колебаний решетки, когда q достигает значения $2k_F$. Чем меньше диэлектрическая проницаемость (зависящая от q), тем слабее будет реакция электронов на движение ионов и тем выше будет частота колебаний решетки. Детальное теоретическое обсуждение влияния

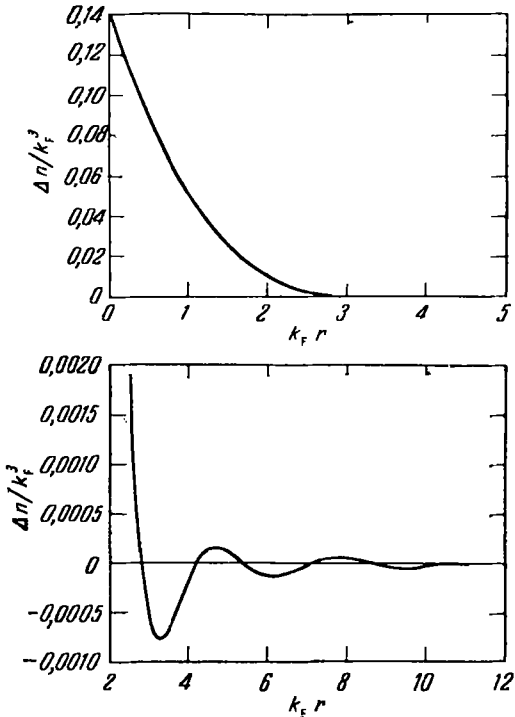


Рис. 6.1. Распределение плотности экранирующего заряда вокруг точечного заряда в случае электронного газа с $r_s = 3$ [18].
Кривые вычислены по теории многих тел.

формы поверхности Ферми на спектр фононов имеется в работе [14]. Остается все же неясным, почему этот эффект должен сохраняться и при наличии столкновений электронов с фононами и примесными атомами.

Численные расчеты энергии корреляции

Воспользовавшись (5.97), выпишем энергию основного состояния, приходящуюся на один электрон:

$$\epsilon_0 = \left(\frac{2,21}{r_s^2} - \frac{0,916}{r_s} + \epsilon_c \right) Ry, \quad (6.77)$$

где первые два члена в скобках — энергия в приближении Хар-

три — Фока, а ε_c — энергия корреляции. В области значений плотности, соответствующих реальным металлам, Нозерь и Пайнс [15] получили следующую интерполяционную формулу:

$$\varepsilon_c \approx (-0,115 + 0,031 \ln r_s) Ry. \quad (6.78)$$

Тем, кто интересуется деталями, следует обратиться к оригинальной работе.

Поучительно, воспользовавшись (6.77) и (6.78), оценить энергию сцепления простого металла, а именно энергию, необходимую, чтобы разделить кристалл на отдельные нейтральные атомы. Удобным для рассмотрения примером служит натрий, поскольку в нем эффективная масса электрона m^* близка к массе свободного электрона m и можно пренебречь различием между m^* и m . Взяв значение $r_s = 3,96$, получим

$$\varepsilon_0 = (0,14 - 0,23 - 0,07) Ry, \quad (6.79)$$

где числа в скобках расположены в той же последовательности, что и в формуле (6.77) и имеют тот же смысл. Однако, как мы уже отмечали в гл. 5, энергия ε_0 вычислена для однородного фона положительных зарядов. Если же положительный заряд распределен дискретно и локализован в виде положительных ионов, то в правую часть выражения для ε_0 следовало бы добавить член, который в формуле (5.77) был обозначен через ε_2 . Величина $\varepsilon_2 = 1,2/r_s Ry$ есть собственная энергия однородного распределения электронов в s -й сфере, для натрия эта энергия имеет величину 0,30 Ry. Заметим, что ε_2 стремится скомпенсировать обменную и корреляционную энергию.

Решение для $k=0$ задачи об одноэлектронном периодическом потенциале в случае натрия дает $\varepsilon(k=0) \approx -0,60 Ry$; выполненные расчеты описаны в работах, которые цитируются в гл. 13. По величине эта энергия сравнима с $\varepsilon_I = -0,38 Ry$, т. е. с энергией ионизации нейтрального атома натрия. Таким образом, энергия сцепления $\varepsilon_{\text{сц}}$ металлического натрия (равная энергии, требующейся для разделения кристалла на нейтральные атомы) равна

$$\begin{aligned} \varepsilon_{\text{сц}} &= -\varepsilon_I + \varepsilon(k=0) + \varepsilon_0 + \varepsilon_2 = \\ &= 0,38 - 0,60 - 0,16 + 0,30 = -0,08 Ry = -1,1 \text{ эв}, \end{aligned} \quad (6.80)$$

т. е. очень близка к экспериментально найденному значению, равному $-1,13$ эв.

Электрон-электронное взаимодействие

Поскольку гамильтониан электрон-электронного взаимодействия имеет недиагональную часть, электрон, рассматриваемый как квазичастица и находящийся, скажем, в состоянии k ,

может оказаться выведенным в результате рассеяния из этого исходного состояния. Средняя длина свободного пробега электрона вблизи поверхности Ферми довольно велика. Сечение рассеяния электрона, находящегося на уровне Ферми электронного газа при температуре T , приближенно описывается формулой

$$\sigma \approx \sigma_0 \left(\frac{k_B T}{\epsilon_F} \right)^2. \quad (6.81)$$

где σ_0 — сечение рассеяния для случая экранированного кулоновского потенциала, а $(k_B T/\epsilon_F)^2$ — статистический множитель, который учитывает, что электрон, служащий мишенью, должен обладать энергией в интервале $2k_B T$ около уровня Ферми, а состояние, в которое он переходит после столкновения, не занято; равным образом конечное состояние падающего электрона должно быть таким, чтобы он мог занять один из свободных уровней. Таким образом, доля доступных для этого процесса состояний равна отношению $(k_B T/\epsilon_F)^2$.

Абрахамс [16] вычислил сечение рассеяния для экранирующего потенциала вида

$$V(r) = \frac{e^2}{r} e^{-r/l} \quad (6.82)$$

путем расчета сдвигов фаз, так как борновское приближение в этом случае не достаточно точно. Для натрия, взяв для l_s величину, найденную Пайнсом, получим $\sigma_0 \approx 17 \pi a_H$, где a_H — боровский радиус. Для электрон-электронного рассеяния в натрии при 4°K средняя длина свободного пробега электрона, находящегося на поверхности Ферми, составляет $2,5 \text{ см}$; при 300°K она равна $4,5 \cdot 10^{-4} \text{ см}$. Отсюда можно видеть, что рассеяние электрона на других электронах не является сильным. Этот замечательный факт позволяет использовать для описания низколежащих состояний электронного газа приближение квазичастиц.

Другой, относящийся к этому вопросу результат был получен Квином и Ферреллом [17]. Они вычисляли для электронного газа при абсолютном нуле длину свободного пробега добавленного в систему электрона в состоянии \mathbf{k} вне поверхности Ферми ($k > k_F$). Для большой плотности электронов они получили для средней длины свободного пробега Λ выражение

$$\Lambda k_F = \left(\frac{k - k_F}{k_F} \right)^2 \frac{3.98}{r_s^{1/4}}, \quad (6.83)$$

соответствующее предельному случаю высокой плотности. Множитель $(k - k_F)^2/k_F^2$ имеет статистический характер и аналогич-

чен множителю $(k_B T / \epsilon_F)^2$, с которым мы встречались при рассмотрении температурной зависимости сечения рассеяния. При $k \rightarrow k_F$ средняя длина свободного пробега неограниченно возрастает, и это служит одной из причин, по которой мы можем говорить о резкой границе поверхности Ферми в металле; состояние, соответствующее $k = k_F$, оказывается действительно хорошо определенным.

Диэлектрический формализм на языке диаграммной техники

Пользуясь диаграммной техникой, можно наглядно описать наиболее важные члены ряда теории возмущений, вносящие вклад в диэлектрическую проницаемость $\epsilon(\omega, q)$ электронной ферми-системы при абсолютном нуле. Диаграммы, которые мы будем использовать, называют диаграммами Голдстоуна; эти диаграммы сходны с известными диаграммами Фейнмана.

Пусть в отсутствие возмущений свободный электронный газ описывается гамильтонианом H_0 . В качестве возмущения мы рассмотрим рассеяние на внешнем потенциале $v(\omega, q)$, оператор которого $H'(\omega, q)$ имеет вид

$$\begin{aligned} H'(\omega, q) &= \int d^3x \Psi^+(x) v(\omega, q) e^{-i\omega t} e^{i\mathbf{q} \cdot \mathbf{x}} \Psi(x) + \text{к. с.} = \\ &= v(\omega, q) e^{-i\omega t} \sum_{\mathbf{k}' \mathbf{k}} c_{\mathbf{k}'}^+ c_{\mathbf{k}} \int d^3x \exp[i(\mathbf{k} - \mathbf{k}' + \mathbf{q}) \cdot \mathbf{x}] + \text{к. с.} = \\ &= v(\omega, q) e^{-i\omega t} \sum_{\mathbf{k}} c_{\mathbf{k}+q}^+ c_{\mathbf{k}} + \text{к. с.} \quad (6.84) \end{aligned}$$

Из этой записи видно, что для краткости эрмитово сопряженные члены не выписаны в явной форме. Так, если бы, например, потенциал $v(\omega, q)$ описывал взаимодействие с ультразвуковыми фононами, то в явной форме были бы приведены лишь те члены, которые относятся к поглощению фона на с волновым вектором q и энергией ω . Операторы рождения и уничтожения c^+ и c можно, как и в гл. 5, выражать через электронные и дырочные операторы; таким образом, можно будет встретить, например, такие комбинации: $a_{\mathbf{k}+q}^+ a_{\mathbf{k}}$, $\beta_{-\mathbf{k}-q} \beta_{-\mathbf{k}}^+$, $a_{\mathbf{k}+q}^+ \beta_{-\mathbf{k}}^+$, $\beta_{-\mathbf{k}-q} a_{\mathbf{k}}$. Здесь первая пара операторов описывает рассеяние электрона, вторая — рассеяние дырки, третья — образование пары электрон — дырка, четвертая — рекомбинацию пары электрон — дырка.

Другим типом возмущений будет кулоновское взаимодействие между электронами системы, т. е.

$$V = \sum_q' V(q) (\rho_q^+ \rho_q - n). \quad (6.85)$$

Это взаимодействие стремится экранировать потенциал $v(\omega, q)$. В дальнейшем мы будем рассматривать лишь линейные относительно потенциала $v(\omega, q)$ члены, однако в кулоновском взаимодействии нас будут интересовать члены всех порядков. Напомним, что оператор $(\rho_q^+ \rho_q^-)$ в (6.85) представляет собой произведение четырех операторов, т. е. содержит комбинации типа

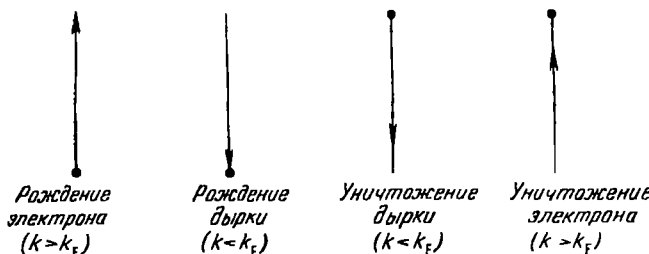


Рис. 6.2. Линии на диаграммах Голдстоуна [19].

Состояние электрона вне ферми-фона описывается стрелкой, направленной вниз; состояние дырки (внутри ферми-фона) — стрелкой, направленной вверх.

$c_{k'+q}^+ c_{k'}^- c_{k-q}^+ c_k^-$; если же записать его через операторы α и β , то окажутся возможными уже 16 различных комбинаций.

Далее, мы будем рассматривать процессы рассеяния, вызванные внешним потенциалом $v(\omega, q)$, в котором зависимость от времени имеет вид $\exp(-i\omega t)$, а зависимость от координат — $\exp iq \cdot x$.

Итак, мы учитываем в гамильтониане члены возмущения двух типов: внешний потенциал $v(\omega, q)$ и кулоновское взаимодействие между электронами $V(q)$. Мы сохраняем для рассмотрения только линейные по $v(\omega, q)$ члены.

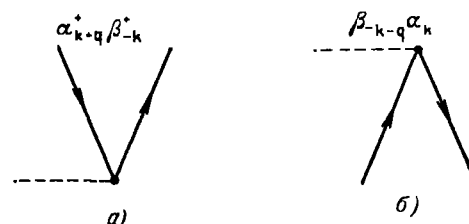
При конструировании

диаграмм, представляющих члены ряда теорий возмущений, относящиеся к электронам и дыркам, мы будем пользоваться графическими обозначениями, приведенными на рис. 6.2. Для фермионов, рассматриваемых как квазичастицы, мы будем пользоваться определениями (5.55) и (5.56), введенными в гл. 5. Тогда переход вследствие рассеяния электронов с волновым вектором $k < k_f$ в состояние вне ферми-фона будет описываться

Рис. 6.3. Схема, иллюстрирующая образование (a) и рекомбинацию (b) пары электрон — дырка.

Пунктирные линии описывают взаимодействие.

диаграмм, представляющих члены ряда теорий возмущений, относящиеся к электронам и дыркам, мы будем пользоваться графическими обозначениями, приведенными на рис. 6.2. Для фермионов, рассматриваемых как квазичастицы, мы будем пользоваться определениями (5.55) и (5.56), введенными в гл. 5. Тогда переход вследствие рассеяния электронов с волновым вектором $k < k_f$ в состояние вне ферми-фона будет описываться



как образование пары электрон — дырка, что показано на рис. 6.3. Пунктирная линия, заканчивающаяся в вершине, символически описывает взаимодействие, вызывающее процесс, изображенный диаграммой. Процессы рассеяния электрона на электроне и дырки на дырке в наименшем порядке теории возмущений изображаются диаграммами на рис. 6.4.

Из проведенного выше аналитического рассмотрения задачи об электронном газе мы знаем, что экранирование играет важную роль в ослаблении эффектов, обусловленных наличием внешнего потенциала $v(\omega, q)$. При расчетах по теории возмущений экранирование можно учесть в высших порядках, вычисляя реакцию электронного газа на внешний потенциал. Хотя при этом мы берем лишь линейные по $v(\omega, q)$ члены, но по межэлектронному кулоновскому взаимодействию $V(q)$ учитываются члены всех высших порядков.

Уместно поставить вопрос о величине матричного элемента оператора U , определенного в гл. 1 выражением (1.55)

$$U(0, -\infty) = \sum_{n=0}^{\infty} (-i)^n \int_{-\infty}^0 dt_1 \int_{-\infty}^{t_1} dt_2 \dots \int_{-\infty}^{t_{n-1}} dt_n V(t_1) V(t_2) \dots V(t_n). \quad (6.86)$$

В качестве примера мы рассмотрим матричный элемент, определяемый волновой функцией $|i\rangle$ невозмущенной системы (один электрон в состоянии \mathbf{k}_i вне заполненного ферми-фона) и волновой функцией $|f\rangle$ (один электрон в состоянии \mathbf{k}_f вне заполненного ферми-фона). В низшем порядке, согласно (1.63), имеем

$$\langle f | U_1(0, -\infty) | i \rangle = - \frac{\langle f | v(\omega, q) | i \rangle}{\epsilon_f - \epsilon_i - \omega - is} \Delta(\mathbf{k}_f - \mathbf{k}_i - \mathbf{q}). \quad (6.87)$$

Для процесса электрон-электронного рассеяния можно кратко написать

$$U_{ee}(0, -\infty) = - \sum_{\mathbf{k}} \frac{v(\omega, q)}{\epsilon_f - \epsilon_i - \omega - is} a_{\mathbf{k}+q}^+ a_{\mathbf{k}}, \quad (6.88)$$

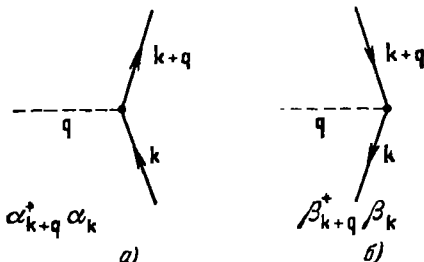


Рис. 6.4. Процессы рассеяния на внешнем потенциале $v(\omega, q)$ в наименшем порядке теории возмущений.
а — электрон — электрон; б — дырка — дырка.

где индекс ee как раз и указывает тип рассеяния. Эта часть представлена графически диаграммой на рис. 6.4, а. Далее мы рассмотрим член второго порядка $U_{2ee}(0, -\infty)$ взяв его в виде (1.64). Члены, линейные относительно $v(\omega, \mathbf{q})$, имеют вид

$$\begin{aligned} \langle f | U_{2ee} | i \rangle = & (-i)^2 \int_{-\infty}^0 dt_1 \int_{-\infty}^{t_1} dt_2 \times \\ & \times \left[\sum_n \langle f | v(\omega, \mathbf{q}) | n \rangle \exp[i(\epsilon_f - \epsilon_n - \omega - is)t_1] \times \right. \\ & \times \langle n | V(\mathbf{q}') | i \rangle \exp[i(\epsilon_n - \epsilon_i - is)t_2] + \sum_m \langle f | V(\mathbf{q}') | m \rangle \times \\ & \left. \times \exp[i(\epsilon_f - \epsilon_m - is)t_1] \langle m | v(\omega, \mathbf{q}) | i \rangle \exp[i(\epsilon_m - \epsilon_i - \omega - is)t_2] \right]. \end{aligned} \quad (6.89)$$

Эти члены соответствуют произведению в выражении $(V + v)^2$. Выписывая (6.86), мы не оговорили ограничений, накладываемых на промежуточное и конечное состояния требованием сохранения величины волнового вектора. Эти ограничения можно без труда ввести. Предположим, как и ранее, что в состоянии $|i\rangle$ вне заполненного ферми-фона имеется лишь один электрон с волновым вектором \mathbf{k}_i .

I. Прежде всего рассмотрим случай, когда в выражении для кулоновского взаимодействия $\mathbf{q}'=0$. В частности, если мы имеем дело с электронным газом, $V(0)=0$, и член с $\mathbf{q}'=0$ отсутствует, однако для взаимодействий более общего вида он может существовать. Тогда имеется две возможности. Для $V(0)$ состояние $|n\rangle$ в (6.89) может быть отождествлено с состоянием $|i\rangle$. В теории вторичного квантования это соответствует операторам для $V(0)$ вида

$$\sum_{\mathbf{k}} a_{\mathbf{k}_i}^+ a_{\mathbf{k}_i}^- \beta_{\mathbf{k}} \beta_{\mathbf{k}}^+,$$

т. е. обмен импульсами отсутствует; дырка, возникшая в ферми-фоне при некотором \mathbf{k} , аннигилирует в том же процессе. Этот член представлен графически диаграммой на рис. 6.5, а. Другие возможные операторы для $V(0)$ имеют вид

$$\sum_{\mathbf{k}\mathbf{k}'} \beta_{\mathbf{k}} \beta_{\mathbf{k}'}^+ \beta_{\mathbf{k}'} \beta_{\mathbf{k}}^+.$$

В этом случае, как показывает диаграмма на рис. 6.5, б, создаются две дырки с \mathbf{k} и \mathbf{k}' , которые затем аннигилируют.

II. При $\mathbf{q}' \neq 0$ кулоновское взаимодействие может привести к рассеянию падающего электрона, переведя его из состояния

с волновым вектором \mathbf{k}_i в состояние с волновым вектором \mathbf{k}_f , равным $\mathbf{k}_i + \mathbf{q}'$. Этот процесс будет сопровождаться возникно-

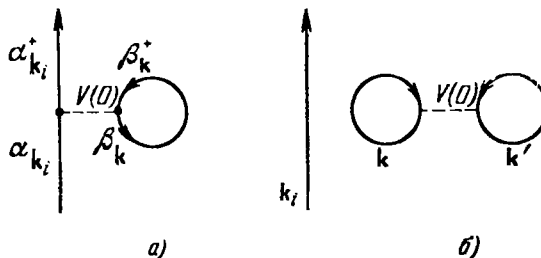


Рис. 6.5. Процессы рассеяния с нулевым волновым вектором.

Ни один из процессов не влияет на рассеяние, хотя процессы *a* изменяют энергию добавленного в систему электрона в состоянии \mathbf{k}_p , а процессы *b* вносят вклад в энергию ферми-фона.

вением пары электрон — дырка, что описывается операторами вида

$$\sum_{\mathbf{k}} \alpha_{\mathbf{k}-\mathbf{q}}^+ \beta_{-\mathbf{k}}^- \alpha_{\mathbf{k}_i+\mathbf{q}'}^+ \alpha_{\mathbf{k}_i}^-.$$

Диаграмма, соответствующая этому процессу, приведена на рис. 6.6, *a*. За образованием пары электрон — дырка следует ее аннигиляция вследствие взаимодействия с внешним потенциалом возмущения $v(\omega, \mathbf{q})$. Аннигиляция описывается произведением операторов $\alpha_{\mathbf{k}-\mathbf{q}} \beta_{-\mathbf{k}}$, где наличие \mathbf{q} вызвано экспоненциальной зависимостью $e^{i\mathbf{q} \cdot \mathbf{x}}$, содержащейся в потенциале $v(\omega, \mathbf{q})$. Но аннигиляцию испытывает именно та пара, которая до того возникла, и поэтому волновой вектор \mathbf{q}' должен быть равен \mathbf{q} . Таким образом, процесс рассеяния $\mathbf{k}_i \rightarrow \mathbf{k}_i + \mathbf{q}$ в случае непрямого процесса, показанного на рис. 6.6, *a*, будет точно таким же, как и для прямого процесса, показанного на рис. 6.4, *a*. Полностью процесс рассеяния описывается оператором

$$\sum_{\mathbf{k}} \alpha_{\mathbf{k}-\mathbf{q}} \beta_{-\mathbf{k}} \alpha_{\mathbf{k}-\mathbf{q}}^+ \beta_{-\mathbf{k}}^+ \alpha_{\mathbf{k}_i+\mathbf{q}}^+ \alpha_{\mathbf{k}_i}^-.$$

Если описывать этот процесс произведением $v(t_1) V(t_2)$ в надлежащей временной последовательности, то, взяв по t_2 интеграл того же типа, что и в выражении (6.89), получим

$$\frac{1}{\epsilon_{\mathbf{k}-\mathbf{q}} - \epsilon_{-\mathbf{k}} + \epsilon_{\mathbf{k}_i+\mathbf{q}} - \epsilon_{\mathbf{k}_i} - i\delta}. \quad (6.90)$$

Однако следующее интегрирование по t_1 обеспечивает сохранение полной энергии, т. е. $\omega = \epsilon_{\mathbf{k}_i+\mathbf{q}} - \epsilon_{\mathbf{k}}$, и поэтому (6.90) можно

переписать в виде

$$\frac{1}{\epsilon_{\mathbf{k}-\mathbf{q}} - \epsilon_{-\mathbf{k}} + \omega - i\sigma}. \quad (6.91)$$

Легко показать, что волновой вектор $\mathbf{k} - \mathbf{q}$ должен относиться к электрону, а $-\mathbf{k}$ — к дырке, переписав еще раз (6.91) в виде

$$\frac{f_o(\epsilon_{\mathbf{k}})[1 - f_o(\epsilon_{\mathbf{k}-\mathbf{q}})]}{\epsilon_{\mathbf{k}-\mathbf{q}} - \epsilon_{-\mathbf{k}} + \omega - i\sigma}, \quad (6.92)$$

где f_o — функции распределения чисел заполнения в невозмущенном основном состоянии.

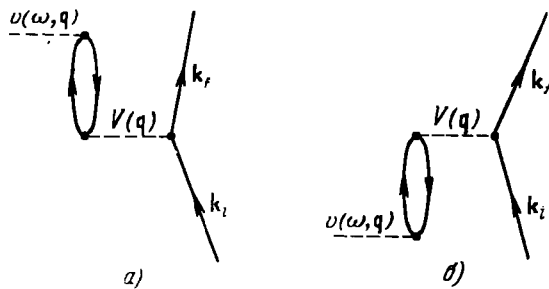


Рис. 6.6. Процессы электронного рассеяния с образованием пары электрон — дырка в промежуточном состоянии.

a — процесс, описываемый оператором

$$a_{\mathbf{k}-\mathbf{q}}^{\beta} a_{\mathbf{k}-\mathbf{q}}^{+} a_{\mathbf{k}_l+\mathbf{q}}^{\beta} a_{\mathbf{k}_l}^{+},$$

b — процесс, описываемый оператором

$$a_{\mathbf{k}_l+\mathbf{q}}^{+} a_{\mathbf{k}_l}^{\beta} a_{\mathbf{k}+\mathbf{q}}^{\beta} a_{\mathbf{k}+\mathbf{q}}^{+}.$$

Процесс, изображаемый диаграммой на рис. 6.6, б, соответствует оператору

$$\sum_{\mathbf{k}} a_{\mathbf{k}_l+\mathbf{q}}^{+} a_{\mathbf{k}_l}^{\beta} a_{\mathbf{k}-\mathbf{q}}^{\beta} a_{\mathbf{k}+\mathbf{q}}^{\beta} a_{\mathbf{k}+\mathbf{q}}^{+},$$

или во временной последовательности — произведению $V(t_1)v(t_2)$, и поэтому интегрирование по t_2 дает

$$\frac{1}{\epsilon_{\mathbf{k}+\mathbf{q}} - \epsilon_{-\mathbf{k}} - \omega - i\sigma} \rightarrow \frac{f_o(\epsilon_{-\mathbf{k}})[1 - f_o(\epsilon_{\mathbf{k}+\mathbf{q}})]}{\epsilon_{\mathbf{k}+\mathbf{q}} - \epsilon_{-\mathbf{k}} - \omega - i\sigma}. \quad (6.93)$$

Учтем далее, что $\epsilon_{\mathbf{k}} = \epsilon_{-\mathbf{k}}$. Поскольку \mathbf{k} здесь немой индекс, то в (6.92) его можно заменить на $\mathbf{k} + \mathbf{q}$ и переписать (6.92) в

форме

$$\frac{f_o(\epsilon_{k+q}) [1 - f_o(\epsilon_k)]}{\epsilon_k - \epsilon_{k+q} + \omega - is}. \quad (6.94)$$

При $s=0$ результат интегрирования по t_2 для суммы двух процессов, изображенных на рис. 6.6, можно, используя (6.93) и (6.94), записать в следующем виде:

$$M(\omega, q) = \sum \frac{1}{\epsilon_{k+q} - \epsilon_k - \omega} \{ f_o(\epsilon_k) [1 - f_o(\epsilon_{k+q})] - f_o(\epsilon_{k+q}) [1 - f_o(\epsilon_k)] \}. \quad (6.95)$$

III. Процессы рассеяния еще двух типов показаны на рис. 6.7. В обоих происходит обмен электронами. На диаграмме,

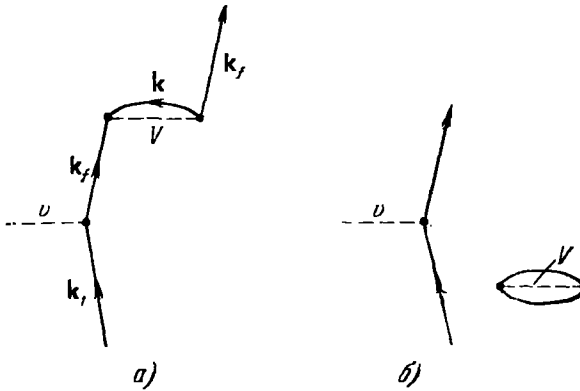


Рис. 6.7. Диаграммы процессов обмена.

приведенной на рис. 6.7, а, кулоновское взаимодействие представлено операторами

$$\alpha_{k_f}^+ \beta_k \beta_k^+ \alpha_{k_f},$$

описывающими рассеяние электрона в состоянии k_f в результате взаимодействия с электроном ферми-фона (обмен). В случае, изображенном на рис. 6.7, б, кулоновское взаимодействие создает пару электрон — дырка в одной вершине, тогда как в другой вершине оно же ведет к ее аннигиляции.

Процесс, изображенный диаграммами на рис. 6.6, представляет особый интерес, так как все изменения изображенных там импульсов одинаковы и в силу соображений, высказанных в приложении (в конце книги) о циклических (кольцевых) диаграммах для энергии, такие диаграммы должны быть основным

типов диаграмм для процессов рассеяния при больших значениях электронной плотности. В третьем порядке (первым по v и одновременно вторым по V) диаграммы, аналогичные рис. 6.6, приведены на рис. 6.8. О таких диаграммах говорят, что они

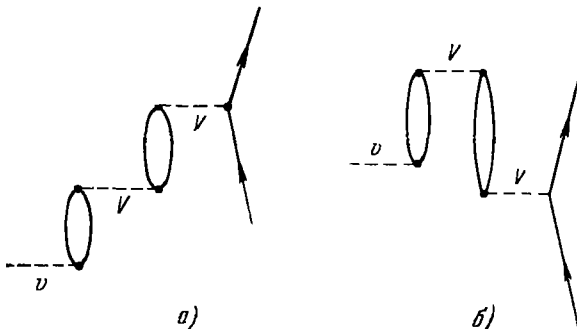


Рис. 6.8. Две диаграммы из последовательности, состоящей из 3! диаграмм, для поляризационных петель в третьем порядке.

Во всех вершинах обменного изменения импульса должно быть одинаковым.

содержат *поляризационные петли*. Примеры диаграмм, описывающих некоторые другие процессы рассеяния в третьем порядке показаны на рис. 6.9; эти процессы не относятся к процессам, описываемым чисто поляризационными петлями.

Последовательность диаграмм (во всех порядках), содержащих только поляризационные петли, может быть записана в виде ряда. В случае электрон-электронного рассеяния первый член такого ряда изображается диаграммой на рис. 6.4, *a*, второй член — диаграммами на рис. 6.6, третий — диаграммами на рис. 6.8. Если, соблюдаяенную аккуратность, обобщить эти результаты, то последовательность диаграмм с поляризационными петлями после должного учета знаков членов и числовых коэффициентов можно записать в виде следующего ряда:

$$v(\omega, \mathbf{q}) a_{\mathbf{k}+\mathbf{q}}^+ a_{\mathbf{k}}^- [1 - VM + (VM)^2 - (VM)^3 + \dots], \quad (6.96)$$

где $M(\omega, \mathbf{q})$ определяется выражением (6.95). Суммирование этого ряда даст для эффективного потенциала выражение

$$v_{\text{эфф}}(\omega, \mathbf{q}) = v(\omega, \mathbf{q}) \frac{1}{1 + V(\mathbf{q}) M(\omega, \mathbf{q})}. \quad (6.97)$$

Диэлектрическая проницаемость определяется, как известно, отношением

$$\epsilon(\omega, \mathbf{q}) = \frac{v(\omega, \mathbf{q})}{v_{\text{эфф}}(\omega, \mathbf{q})} \quad (6.98)$$

и, следовательно, для $\epsilon(\omega, \mathbf{q})$ получим

$$\epsilon(\omega, \mathbf{q}) = 1 + V(\mathbf{q}) M(\omega, \mathbf{q}), \quad (6.99)$$

что полностью соответствует результату (6.23), полученному методом самосогласованного поля. Мы видим, что в данном вопросе метод самосогласованного поля (так же, как и приближение хаотических фаз) эквивалентен диаграммному методу до тех пор, пока при вычислении диэлектрической проницаемости

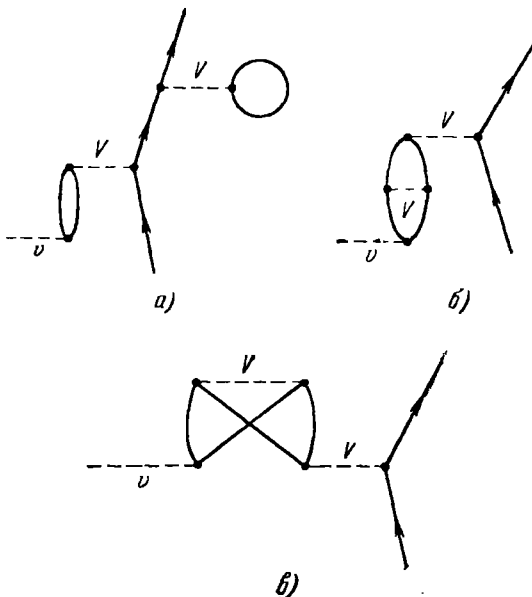


Рис. 6.9. Диаграммы, описывающие некоторые возможные процессы рассеяния в третьем порядке.

(т. е. эффективного потенциала) учитываются только те члены взаимодействия в разложении матрицы U , которые описываются диаграммами с поляризационными петлями. Эффективное, или экранированное, взаимодействие в диаграммном методе обычно изображают двойными волнистыми линиями, соединяющими вершины, а пунктирные линии по-прежнему описывают «чистое», т. е. не экранированное взаимодействие.

Теорема о связных диаграммах. Любой участок диаграммы, который не связан с остальной ее частью и не имеет внешних линий, ведущих наружу или внутрь диаграммы, называется несвязной частью. Диаграмма, не содержащая несвязных частей,

называется *связной диаграммой*. Согласно этим определениям диаграммы, изображенные на рис. 6.3; 6.4; 6.5, а; 6.6; 6.7, а; 6.8 и 6.9, являются связными. Несвязные их части имеются только на диаграммах, приведенных на рис. 6.5, б и 6.7, б. Получим теперь знаменитую теорему о связных диаграммах теории возмущений. Для этого мы воспользуемся приближенным методом, развитым в гл. I при изложении теории возмущений, зависящих от времени.

Временная последовательность элементов любой диаграммы отражена в расположении ее связных и несвязных частей и, следовательно, влияет на области и последовательность интегрирований в выражении для $U\Phi_0$. Рассмотрим все диаграммы, содержащие несвязные части и отличающиеся друг от друга лишь тем, что «место» включения взаимодействия в несвязных частях располагается в диаграмме по-разному относительно остальной ее части. Однако внутри самих связных и несвязных частей последовательность включения взаимодействий считается фиксированной. Пусть времена включения взаимодействий в несвязных частях обозначены через t_1, t_2, \dots, t_n (причем $0 > t_1 > t_2 > \dots > t_n$), а времена включения взаимодействий в связных частях — через t'_1, t'_2, \dots, t'_m (причем $0 > t'_1 > t'_2 > \dots > t'_m$). Сумма членов, соответствующих всем этим диаграммам, или всем различным относительным расположениям связных и несвязных частей, получается путем последовательного выполнения всех интегрирований по времени с учетом одного лишь ограничения $0 > t_1 > t_2 > \dots > t_n$ и $0 > t'_1 > t'_2 > \dots > t'_m$. Эта сумма, следовательно, равна произведению выражений, полученных по отдельности, от обеих (связных и несвязных) частей. Это позволяет рассматривать члены, относящиеся к несвязным частям, как некие множители. Тогда

$$U|0\rangle = (\Sigma \text{ членов от несвязных частей}) \times (\Sigma \text{ членов от связных частей}).$$

Если же мы учтем условие нормировки знаменателя

$$\langle 0 | U | 0 \rangle = (\Sigma \text{ членов от несвязных частей})$$

(это условие выполняется, так как для диагональных элементов внешние линии дадут нуль), то получим, что

$$|0\rangle = \Sigma \text{ членов от связных частей.}$$

Теперь выполним интегрирования по времени в явном виде:

$$|0\rangle = U|0\rangle = \sum_n (-i)^n \int_{-\infty}^0 dt_1 \dots \int_{-\infty}^{t_{n-1}} dt_n e^{iH_0 t_n} V e^{-iH_0 t_n} e^{st_n} |0\rangle =$$

$$\begin{aligned}
 &= \sum_n (-i)^n \int_{-\infty}^0 dt_1 \dots \int_{-\infty}^{t_{n-1}} dt_n \exp [i(H_0 - E_0)t_n + st_n] V |0\rangle = \\
 &= \sum_n (-i)^n \int \dots \frac{\exp [i(H_0 - E_0)t_{n-1} + st_{n-1}]}{-i(E_0 - H_0 + is)} V |0\rangle = \\
 &= \sum_n (-i)^{n-1} \int \dots \int_{-\infty}^{t_{n-2}} dt_{n-1} \exp [iH_0 t_{n-1}] V \exp [-iH_0 t_{n-1}] \times \\
 &\quad \times \frac{\exp [i(H_0 - E_0)t_{n-1} + st_{n-1}]}{E_0 - H_0 + is} V |0\rangle = \sum_n (-i)^{n-1} \times \\
 &\quad \times \int \dots \int_{-\infty}^{t_{n-2}} dt_{n-1} \exp [i(H_0 - E_0 + 2is)t_{n-1}] V \frac{1}{E_0 - H_0 + is} V |0\rangle. \tag{6.100}
 \end{aligned}$$

Отсюда

$$|0\rangle = \lim_{s \rightarrow +0} \sum_L \frac{1}{E_0 - H_0 + ins} V \frac{1}{E_0 - H_0 + i(n-1)s} V \dots \frac{1}{E_0 - H_0 + is} V |0\rangle, \tag{6.101}$$

где индекс L означает, что сумма берется *только по связным диаграммам*. Тогда можно записать точный результат в виде

$|0\rangle = \sum_L \left(\frac{1}{E_0 - H_0} V \right)^n |0\rangle. \tag{6.102}$

Точное выражение для энергетического сдвига ΔE определяется формулой (1.45), т. е.

$\Delta E = \sum_L \langle 0 | V \left(\frac{1}{E_0 - H_0} V \right)^n | 0 \rangle, \tag{6.103}$

где вклады в сумму вносят лишь связные диаграммы без каких-либо внешних линий. Знаменатель $\langle 0 | 0 \rangle$ нормирован и равен единице. Итак, связная диаграмма — это диаграмма, которая не имеет никаких внешних линий, но обладает тем свойством, что в ней можно непрерывным образом «пройти» по всем линиям, как, например, в случае диаграмм, приведенных

на рис. 6.10, *a* и *b*. Выражения (6.102) и (6.103) представляют собой ряды из членов, расположенных в последовательности, соответствующей порядкам теории возмущений (цепочка связных диаграмм). Другой способ вывода этих выражений приведен в работе Блоха [20].

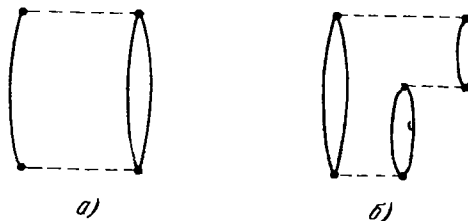


Рис. 6.10. Примеры связных диаграмм.

В качестве тривиального примера рассмотрим гамильтониан системы бозонов $H = \epsilon a^\dagger a + \eta(a + a^\dagger)$, где $\epsilon a^\dagger a = H_0$. Единственная связная диаграмма получается при разложении выражения

$$\langle 0 | \eta a | 1 \rangle \langle 1 | \frac{1}{H_0} | 1 \rangle \langle 1 | \eta a^\dagger | 0 \rangle, \quad (6.104)$$

которое описывает образование бозона и его последующее исчезновение. При этом

$$\Delta E = -\eta^2/\epsilon \quad (6.105)$$

представляет собой точное выражение для сдвига основного уровня.

ЗАДАЧИ

6.1. Пользуясь выражением (6.47), вычислить диэлектрическую проницаемость электронного газа в приближении Хартри. Прежде всего следует показать, что

$$\frac{1}{\epsilon_H(0, q)} - 1 = -\frac{32\pi e^2 m}{(2\pi)^5 q^2} \int_{k < k_F} \int_{k' > k_F} d^3 k d^3 k' |\langle \mathbf{k} | e^{i\mathbf{q} \cdot \mathbf{x}} | \mathbf{k}' \rangle|^2 \mathcal{P} \frac{1}{k'^2 - k^2}, \quad (6.106)$$

где \mathcal{P} — символ главного значения. Оценка значений интегралов покажет, что

$$\frac{1}{\epsilon_H(0, q)} - 1 = -\frac{k_s^2}{2q^2} g(q), \quad (6.107)$$

где $k_s = 6\pi ne^2/\epsilon_F$, а

$$g(\mathbf{q}) = 1 + \frac{k_F}{q} \left(1 - \frac{q^2}{4k_F^2} \right) \ln \left| \frac{q + 2k_F}{q - 2k_F} \right|. \quad (6.108)$$

Указание. При оценке интегралов сначала надо установить, что

$$\int_{\substack{k < k_F \\ k > k_F}} d^3k d^3k' \delta(\mathbf{k}' + \mathbf{q} - \mathbf{k}) \mathcal{P} \frac{1}{k'^2 - k^2} = 0. \quad (6.109)$$

Тогда искомый интеграл равен интегралу от той же функции, взятому по области значений $k < k_F$, но по *всем значениям* k' . Легко показать, что, вводя дельта-функцию, мы сразу найдем интеграл

$$\int_{k < k_F} d^3k \frac{1}{(\mathbf{k} - \mathbf{q})^2 - k^2}. \quad (6.110)$$

6.2. а. Показать, что во втором порядке энергия возмущения основного состояния системы всегда отрицательна. Следовательно, если член потенциальной энергии в гамильтониане имеет вид λV , где λ — константа связи, то производная $\partial^2 E_g / \partial \lambda^2$ отрицательна. Здесь E_g — энергия основного состояния.

б. Показать далее, что $\frac{\partial \langle V \rangle}{\partial \lambda} \leq 0$. Этот результат Феррелл [21] использовал в качестве критерия при экстраполяции выражений для энергии корреляции электронного газа.

6.3. Пусть плотность пробного заряда описывается функцией

$$er_q(\exp[-i(\omega t + \mathbf{q} \cdot \mathbf{x})] + \exp[i(\omega t + \mathbf{q} \cdot \mathbf{x})]). \quad (6.111)$$

Показать, что в низшем порядке теории возмущений, зависящих от времени, изменение энергии электронного газа, обусловленное внесением пробного заряда, определяется выражением

$$\frac{dW}{dt} = 2\pi\omega \left(\frac{4\pi e^2}{q^2} \right)^2 r_q^2 |\langle n | \rho_q | 0 \rangle|^2 [\delta(\omega_{n0} - \omega) - \delta(\omega_{n0} + \omega)]. \quad (6.112)$$

Сопоставляя это выражение с (6.49), получим

$$\frac{dW}{dt} = -\frac{8\pi e^2}{q^2} \omega r_q^2 \operatorname{Im} \left(\frac{1}{\epsilon(\omega, q)} \right). \quad (6.113)$$

6.4. Рассмотрим уравнение движения свободного электронного газа, частота релаксации которого η :

$$\ddot{x} + \eta \dot{x} = \frac{eE}{m}. \quad (6.114)$$

Показать, что поляризуемость

$$\alpha(\omega, 0) = \frac{nex}{E} = -\frac{ne^2}{m} \cdot \frac{1}{\omega^2 + i\eta\omega}, \quad (6.115)$$

и при ω , близких к ω_p , справедливо выражение

$$\frac{1}{\epsilon(\omega, 0)} \approx \frac{1}{2} \frac{\omega + i\eta}{\omega - \omega_p + \frac{1}{2}i\eta}. \quad (6.116)$$

Показать также, что

$$\lim_{\eta \rightarrow +0} \operatorname{Im} \left(\frac{1}{\epsilon} \right) = -\omega_p \delta(\omega - \omega_p). \quad (6.117)$$

Если для вычисления (6.52) использован только этот полюс, то показать, что

$$E_{\text{взаим}} = \sum_{\mathbf{q}} \left(\frac{1}{2} \omega_p - \frac{2\pi ne^2}{q^2} \right). \quad (6.118)$$

Обратить внимание на вклад собственных нулевых плазмонных колебаний в энергию основного состояния.

6.5. Пусть в единичном объеме

$$\rho_{\mathbf{q}} = \sum_{i=1}^n e^{-i\mathbf{q} \cdot \mathbf{x}_i},$$

а гамильтониан имеет вид

$$H_0 = \sum_i \left[\frac{p_i^2}{2m} + V(\mathbf{x}_i) \right].$$

Показать, что

$$\text{a}) \quad [H_0, \rho_{\mathbf{q}}] = - \sum_i \frac{1}{m} \mathbf{q} \cdot \left(\mathbf{p} + \frac{1}{2} \mathbf{q} \right) e^{-i\mathbf{q} \cdot \mathbf{x}_i}; \quad (6.119)$$

$$\text{б}) \quad [[H_0, \rho_{\mathbf{q}}], \rho_{-\mathbf{q}}] = - \frac{n}{m} q^2; \quad (6.120)$$

в) в представлении, в котором H_0 диагонально, справедливо соотношение

$$\sum_m \omega_m \{ |\langle 0 | \rho_{\mathbf{q}} | m \rangle|^2 + |\langle 0 | \rho_{-\mathbf{q}} | m \rangle|^2 \} = \frac{n}{m} q^2. \quad (6.121)$$

Этот результат представляет собой установленное Нозьером и Пайнсом правило продольных f -сумм [22]. Обычно можно написать

$$|\langle 0 | \rho_{\mathbf{q}} | m \rangle|^2 = |\langle 0 | \rho_{-\mathbf{q}} | m \rangle|^2.$$

Установить, при каких условиях справедливо это равенство.

6.6. Пользуясь (6.47) в предельном случае $\omega \gg \omega_{\text{нр}}$ и пользуясь правилом сумм Нозьера и Пайнса, показать, что

$$\epsilon(\omega, \mathbf{q}) \approx 1 - \frac{4\pi ne^2}{m\omega^2}. \quad (6.122)$$

6.7. Пользуясь решением задачи 6.5, показать, что

$$\int_0^\infty d\omega \omega \operatorname{Im} \left(\frac{1}{\epsilon(\omega, \mathbf{q})} \right) = \frac{-\pi \omega_p^2}{2}. \quad (6.123)$$

6.8. Зная, что $\epsilon = 4\pi i\sigma/\omega$, показать справедливость соотношения

$$\int_0^\infty d\omega \sigma_1(\omega, \mathbf{q}) = \frac{1}{8} \omega_p^2, \quad (6.124)$$

где $\sigma = \sigma_1 - i\sigma_2$. Этот результат представляет собой важное правило сумм. Его применение к переходу в сверхпроводящее состояние обсуждается в работах [23, 24]. Доказательство весьма просто. Принцип причинности требует, чтобы ϵ как функция ω была аналитической в верхней полуплоскости ω . Далее из (6.47) следует, что на вещественной оси ω_ϵ , есть четная, а ω_{ϵ_2} — нечетная функция ω . Рассмотреть контурный интеграл, взяв область от $-\infty$ до $+\infty$ на вещественной оси и дополнив ее полукружностью на ∞ в верхней полуплоскости, используя результат задачи 6.6 (асимптотическое выражение для ϵ).

6.9. Пользуясь динамическим структурным фактором в том виде, как он определен выражением (6.64), показать, что для системы N частиц справедливо соотношение

$$\int_0^\infty d\omega S(\omega, q) = N S(q). \quad (6.125)$$

Полученная таким путем величина $S(q)$ известна под названием структурного фактора для жидкости и равна фурье-образу парной функции корреляции

$$p(x) = N^{-1} \langle 0 | \rho^+(0) \rho(x) | 0 \rangle, \quad (6.126)$$

$$S(q) = N^{-1} \langle 0 | \rho_q \rho_q^+ | 0 \rangle = \int d^3x p(x) e^{-iq \cdot x}. \quad (6.127)$$

6.10. Используя решение задачи 6.5, в), показать, что

$$\int_0^\infty d\omega \cdot \omega S(\omega, q) = \frac{Nq^2}{2m}, \quad (6.128)$$

где m — масса частицы. Предполагалось, что $S(\omega, q) = S(\omega, -q)$.

6.11. В циклических (кольцевых) диаграммах (см. приложение в конце книги) мы имеем дело со связанными событиями, описываемыми операторами

$$A_k^+(q) = a_{k+q}^+ \beta_{-k}^+; \quad A_k(q) = \beta_{-k} a_{k+q}, \quad (6.129)$$

где a , a^+ — электронные, а β , β^+ — дырочные операторы.

Показать, что

$$[A_k^+(q), A_{k'}^+(q')] = 0, \quad (6.130)$$

и

$$[A_k(q), A_{k'}^+(q)] = \delta_{k+q, k'+q'} \delta_{kk'} - \delta_{kk'} a_{k'+q}^+ a_{k+q} - \\ - \delta_{k+q, k'+q'} \beta_{-k}^+ \beta_{-k} \approx \delta_{kk'} \delta_{qq'}, \quad (6.131)$$

поскольку в невозмущенном вакуумном состоянии электронное и дырочное числа заполнений равны нулю. Заметим, что в этом приближении для операторов A , A^* справедливы те же перестановочные соотношения, что и для бозонных операторов, поскольку пара электрон — дырка ведет себя, как бозон.

Литература

1. Carr W. J., Phys. Rev. **122**, 1437 (1961).
2. Ehrenreich H., Cohen M. N., Phys. Rev. **115**, 786 (1959).
3. Goldstone J., Gottfried K., Nuovo Cimento **13**, 849 (1959).
4. Пайнс Д., Проблема многих тел, ИЛ, 1963.
5. Gell-Mann M., Brueckner K. A., Phys. Rev. **106**, 364 (1957).
6. Pines D. в сб. «Solid State Physics», vol. 1, N. Y., 1955.
7. Sawada K., Phys. Rev. **106**, 372 (1957).
8. Steinman W., Phys. Letts **5**, 470 (1960); Z. Phys. **163**, 92 (1961).
9. Brown R. W., Wessel P., Trounson E. P., Phys. Rev. Letts **5**, 472 (1960).
10. Ferrell R. A., Phys. Rev. **111**, 1214 (1958).
11. Шифф Л., Квантовая механика, ИЛ, 1959.
12. Nozieres P., Pines D., Nuovo Cimento **9**, 470 (1958).
13. Van Hove, Phys. Rev. **95**, 249 (1954).
14. Woll E. J., Kohn W., Phys. Rev. **126**, 1693 (1962).
15. Nozieres P., Pines D., Phys. Rev. **111**, 442 (1958).
16. Abrahams E., Phys. Rev. **95**, 839 (1954).
17. Quinn J. J., Ferrell R. A., Phys. Rev. **112**, 812 (1958).
18. Langer J. S., Vosko S. H., J. Phys. Chem. Solids **12**, 196 (1960).
19. Goldstone J., Proc. Roy. Soc. **A239**, 268 (1957).
20. Bloch C., Nuclear Phys. **7**, 451 (1958).
21. Ferrell R. A., Phys. Rev. Letts **1**, 444 (1958).
22. Nozieres P., Pines D., Phys. Rev. **109**, 741 (1958).
23. Ferrell R. A., Glover R. E., III, Phys. Rev. **109**, 1398 (1958).
24. Tinkham M., Ferrell R. A., Phys. Rev. Letts **2**, 331 (1959).